

INSTITUTO GEOLOGICO y MINERO DE ESPAÑA

MAPA GEOLOGICO NACIONAL

E: 1:50.000 MAGNA

Hoja 16-28 ANCHURAS

Album de Fotografias

COMPAÑIA GENERAL DE SONDEOS, S.A.

Diciembre 1986

COLECCION DE FOTOGRAFIAS

- FN 9701.- Arenisca con secuencia T(a)bc (4). rio Estena
- FN 9702.- Arenisca con secuencia Tbc convoluted (4). Rio Estena
- FN 9703.- Areniscas tractivas con secuencias Tce, Tbce (con climbing ripples?) (4). Rio Estena.
- FN 9704.- Tramo de TBT (Thin-beddes-Turbidites) desorganizado (3). Rio Estena
- FN 9705.- Nivel conglomerático Facies A (5). Rio Estena
- FN 9706.- Areniscas con secuencias Tabc, Tab con mud-chips a techo de a (4). Rio Estomiza.
- FN 9707.- Slump. Facies F y a techo niveles de la foto anterior (serie invertida) (4). Rio Estomiza.
- FN 9708.- Pequeños flutes en el muro de una capa de arenisca, junto al afloramiento anterior (4). Rio Estomiza, Dir. N60E.
- FN 9709.- Potente capa de arenisca con secuencia Tabcd, a muro de "a" laminación paralela también de alta energía (4). Rio Estomiza
- FN 9710.- Flutes linguoides a muro de una capa potente de arenisca. Tab (4). Rio Estomiza Dir. N65E
- FN 9711.- Tramo basal de la Megabrecha del Membrillar (6) Facies A. Rio Estena.
- FN 9712.- Afloramiento de calizas (mega-canto) en la Megabrecha del Membrillar (6). Rio Estena.
- FN 9713.- Detalle de bloques de calizas y areniscas grauváquicas con abundante matriz; megabrecha del Membrillar (6). Rio Estena.

- FN 9714.- Panorámica de un corte de serie turbidítica, capas cm y dm de Facies C y D? con capas distorsionadas (slump); secuencias es- trato decrecientes (4). Rio Estena (Pantano de Cíjara) Techo hacia la izquierda.
- FN 9715.- Afloramiento a muro de la foto anterior, el tramo más potente corresponde a un nivel de conglomerados (A) y a techo un ni- vel de slump (<sup>S</sup>); (4) Rio Estena (Pantano de Cíjara). Techo - hacia la izquierda.
- FN 9716.- Aspecto del conglomerado de la foto anterior, Facies A, (4). Rio Estena (Pantano de Cíjara)
- FN 9717.- Afloramiento de areniscas y pizarras (4) serie turbidítica
- FN 9718.- Tramo de slump en limolitas intercaladas entre areniscas (4). Rio Estena.
- FN 9719.- Tramo de TBT (Tc-e Tb-e) entre niveles de areniscas Tab (4). Rio Estena.
- FN 9720.- Limolitas con estratificación linsen o waky-bedding (TBT) (4) Rio Estena.
- FN 9721.- Detalle del afloramiento anterior, donde se observa el fore- set de los ripples (4). Rio Estena.
- FN 9722.- Cantera de "pizarras" en limolitas (4) con laminación parale- la fina y con esquistosidad subparalela a la So. Rio Estena.
- FN 9723.- Nivel de paraconglomerados (5). Rio Estena.
- FN 9724.- Detalle de los cantos del nivel anterior (5). Rio Estena.
- FN 9725.- Nivel de conglomerados (5) con grandes flutes en la base. Rio Estenilla.
- FN 9726.- Detalle de un nivel de paraconglomerados (5). Rio Estenilla

- FN 9727.- Afloramiento de potentes conglomerados (5) en el Rio Estenilla.
- FN 9728.- Relación estratificación esquistosidad en limolitas decimétricas (4) (tramo superior); esquistosidad grosera (rough-cleavage) Rio Estena.
- FN 9729.- Limolita con laminación "lenticular" de ripples (niveles marrones) relación Sp/So tramo inferior de (7) Pusa; Rio Estena
- FN 9730.- Limolitas con laminación paralela o lenticular, tramo inferior de (7) Pusa. Rio Estenilla.
- FN 9731.- Nivel desorganizado, slump con cantos a techo del tramo de la foto anterior (7) Pusa. Rio Estenilla.
- FN 9732.- Limolitas bandeadas (estratificación paralela-lenticular) con pequeño nivel desorganizado (7). Pusa. Rio Estenilla.
- FN 9733.- Nivel de conglomerados (8), aparente transporte "en masa", el lentejón arenoso tambien seria un "canto" de gran tamaño, cantos de cuarzo y mud-chips. Aº Posadillas.
- FN 9734.- Detalle de conglomerados (8) con cantos de cuarzo en contacto Aº Posadillas
- FN 9735.- Detalle de otro nivel conglomerático (8) constituido por abundantes cantos blandos limolíticos y arenisca microconglomerática. Aº Posadillas.
- FN 9736.- Resalte de conglomerados (8) en el Rio Estomiza.
- FN 9737.- Detalle de los conglomerados (8) de la foto anterior, cantos redondeados de cuarzo blanco y escasa matriz arenosa. Rio Estomiza.

- FN 9738.- Nivel de conglomerados y limolitas con cantos (paraconglomerados) (8) en el Rio Estena.
- FN 9739.- Pliegues de formas cerradas originados por slump en limolitas (8) a techo del nivel de conglomerados (6). Rio Estena.
- FN 9741.- Pliegues originados por slump en limolitas (7) a techo del nivel de conglomerados (8). Rio Estena.
- FN 9742.- Limolitas con laminación paralela, lenticular o linsen bedding de ripples muy tendidos (7). Rio Estena.
- FN 9743.- Nivel "desorganizados" con numerosos cantos blandos de limolitas y pelitas intercaladas entre limolitas (7). Rio Estena.
- FN 9744.- Intercalaciones de areniscas de grano medio entre limolitas (7) Rio Estena se observa refracción de la esquistosidad.
- FN 9745.- Afloramiento de limolitas (75 con diaclasado paralelipédico - marcado por la So, la esquistosidad principal y otro plano ortogonal a Sp (local) Rio Estena
- FN 9746.- Discordancia intraformacional en Pusa (7) Rio Estenilla
- FN 9747.- Conglomerados y areniscas micro-conglomeráticas (9) Bco de la charca.
- FN 9748.- Capas potentes de conglomerados de cantos de cuarzo (9) Flanco Oeste del anticlinal del Linchero.
- FN 9749.- Aspecto del afloramiento de conglomerados (9). Flanco Este - del Linchero-Rio Estenilla; capas de conglomerados con cantos blandos de transporte en masa y capas de areniscas tractivas.
- FN 9750.- Niveles centimétricos con oncolitos fosfatados intercalados - entre limolitas, techo del tramo (9).

- FN 9751.- Pequeño tramo de slump entre las limolitas con intercalaciones de oncolitos a techo de (9).
- FN 9752.- Pizarras microbandeadas (10) con esquistosidad ortogonal.
- FN 9753.- Tramo de limolitas desorganizadas con bolos (slump) (10) Rio Estena.
- FN 9754.- Limolitas de Pusa (10) con tenue laminación paralela.
- FN 9755.- Limolitas de Pusa (10) con los típico niveles de alteración - marrón. Rio Estenilla.
- FN 9756.- Intercalaciones de areniscas centimétricas a techo de Pusa (10).
- FN 9757.- Aspecto de las areniscas y limolitas de Azorejo (12) suavemente plegadas
- FN 9758.- Ripples de cresta recta a techo de una capa de cuarcita (12). Azorejo.
- FN 9759.- "Techos" de capas de cuarcitas con ripples en distintas direcciones (12). Azorejo.
- FN 9760.- Laminación cruzada en surco de megaripples en (12) Azorejo.
- FN 9761.- Laminación cruzada en surco de megaripples en (12) Azorejo
- FN 9762.- Estructuras almohadilladas de gran tamaño originadas por escape de agua en una capa de arenisca (12). Azorejo.
- FN 9763.- Ripples de oleaje con distintas direcciones algunos en el techo de una misma capa (12). Azorejo.
- FN 9764.- Discordancia intraformacional (local) en (12) Azorejo Aº de - las Peralesas.

- FN 9765.- Pseudo nódulos originados por carga de megaripples arenosos a techo de un nivel limolítico (12) Azorejo.
- FN 9766.- Conglomerado con bloques subangulosos de cuarcita del Ordovícico inferior (13)
- FN 9767.- Tramo de limolitas a techo del conglomerado de la foto anterior (13)
- FN 9768.- Potentes niveles de pudingas (13) del Ordovícico inferior
- FN 9769.- Detalle de un nivel conglomerático (13) con cantos de cuarzo, cuarcita y arenisca. Ordovícico inferior.
- FN 9770.- Areniscas y conglomerados (13) del Ordovícico inferior
- FN 9771.- Areniscas con laminación deformada (slump) (13) Ordovícico inferior.
- FN 9772.- Capa de limolitas con esquistosidad muy penetrativa "rough-cleavage" a techo cuarcitas sin esquistosidad (13).
- FN 9773.- Bioturbación "Rusophycus" en el muro de una cuarcita (14)
- FN 9774.- Estratificación cruzada planar en capa de cuarcitas (14) Rio Estena.
- FN 9775.- Superposición de sand-waves ("barras") que dan pseudo estratificación cruzada en gran escala, progradación de barras (14). Rio Estena
- FN 9776.- Superposición de megaripples con laminación cruzada, retrabajadas por ripples a techo (14). Rio Estena.
- FN 9777.- Crestones o "barras" de cuarcita facies "armoricana" con intercalaciones cuarcíticas más finas (de compensación?) (15). Rio Estena.

- FN 9778.- Resaltos de cuarcitas facies "armoricana" (15) Rio Estena.
- FN 9779.- Dique subvolcánico (19) intercalado entre pizarras (17) del - Llanvirn-Llandeilo.
- FN 9780.- Detalle del Dique subvolcánico (19) con fenocristales y vacío las
- FN 9781.- Barras de areniscas (18) intercalados en pizarras (17) del Llanvirn-Llandeilo.
- FN 9782.- Laminación tectónica de las cuarcitas del Ordovícico inferior (13, 14 y 15) en el Flanco NE del sinclinal de Navalonguilla. Aº Corazoncillo.
- FN 9783.- Aspecto del Mioceno, arcillas arenosas y niveles conglomeráticos (2) Aº Valdelarguillo.
- FN 9784.- Aspecto del Precámbrico alterado, arcillas de tonos similares al Mioceno, pero aún se conservan los filones de cuarzo "in situ".
- FN 9785.- Aspecto de la Raña (26) cantos y niveles arenosos y arcillosos intercalados. La Raña es el último nivel del Neógeno.
- FN 9786.- Corte de la Raña (26) discordante directamente sobre el Precámbrico paleo-alterado.
- FN 9787.- Panorámica (hacia el SW) del Valle de Estomiza en el centro cultivado los depósitos Paleógenos (23) a derecha e izquierda. Neógeno (24) con Raña encima (26); al fondo el "nivel de cumbres" sobre la Cuarcita Armoricana.
- FN 9788.- Panorámica hacia el W de la extensa superficie de la Raña (26) de los Alemanes.
- FN 9789.- Panorámica hacia el NE de la sierra de Navas de Estena en ler término cuarcitas de Azorejo (12) al fondo el Ordovícico inferior (13) y (14) con las típicas "pedrizas" (23) de cantos - cuarcíticos.

- FN 9790.- Dique traquítico (2) con dirección aprox. N90 escalonado por fracturas, al fondo a la derecha resalte de conglomerados (6) de Encinacaída.
- FN 9791.- Discordancia angular (55º aprox.) entre las cuarcitas del Azo  
rejo (12) verticales y las areniscas y cuarcitas del Ordovíci  
co inferior (13) y (14) buzando al NE.; corte de Navas de Este  
na.
- FN 9792.- Pliegue anticlinal en las Pizarras del Pusa (10), marcado por el nivel arenoso inferior, esquistosidad muy penetrativa en las pizarras, de plano axial.
- FN 9793.- Relación Estratificación-esquistosidad en las limolitas del Pusa (10); esquistosidad espaciada "rough cleavage".
- FN 9794.- Pseudo esquistosidad espaciada (diaclasado intenso) en una zo  
na de fractura en la cuarcita armoricana.
- FN 9795.- Pliegue abierto 2D en limolitas (3) con esquistosidad espacia  
da asociada.
- FN 9796.- Pliegues abiertos-suaves 1D-1E, con esquistosidad de abanico convergente en limolitas y cuarcitas de Azorejo (12).
- FN 9797.- "multilayer" de cuarcitas y limolitas de Azorejo (12) con pliegues suaves 1C-1D Peña del Estena.
- FN 9798.- Pliegues sinclinal y anticlinal en alternancias de areniscas y limolitas de Pusa (8).
- FN 9799.- Otro aspecto de los pliegues en las alternancias de Areniscas y limolitas de Pusa (8). idem foto anterior.
- FN 9800.- Pliegue de eje vertical asociado a una zona de desgarre en li  
molita de Pusa (10).

- FN 9801.- Filoncillo de cuarzo "abudinado" junto a 9800, limolitas y pizarras de Pusa (10).
- FN 9802.- Potente brecha de falla 3-5 m. N90-100E en el Ordovícico inferior corte de Navas de Estena (1).
- FN 9803.- Detalle de la brecha de falla de la foto anterior, con abundantes óxidos de hierro y manganeso (1).
- FN 9804.- Fractura N90-100E, zona de Anchuras mineralizada, con pequeña calicata de reconocimiento.
- FN 9805.- Brecha mineralizada con galena, blenda y óxidos de hierro, Mina del Miedo, fractura N-70-80E.
- FN 9806.- "labores" en la zona de "brecha" de la Mina del Miedo.
- FN 9807.- Aspecto de las instalaciones desmanteladas de la Mina del Brillante (lavadero y bolsa de lodos, al fondo en la zona central de "corta", el filón de cuarzo N70-90 mineralizado.
- FN 9808.- Capa con óxidos de hierro (sustitución) en las minas de Rio Frio interestratificada entre limolitas de Azorejo (12).
- FN 9809.- "labores", galerias siguiendo la "capa" mineralizada, minas de hierro de Rio Frio
- FN 9810.- Nivelillos con óxidos de Manganeso Km 26 Ca de Navahermosa.
- FN 9811.- Aspecto del afloramiento con limolitas con laminación paralela en la parte inferior, superficie erosiva (en el martillo) con óxidos de manganeso y encima limolita "masiva". (Azorejo (12). Km. 26 Ca de Navahermosa.



9702



9703





9704

9705



9706

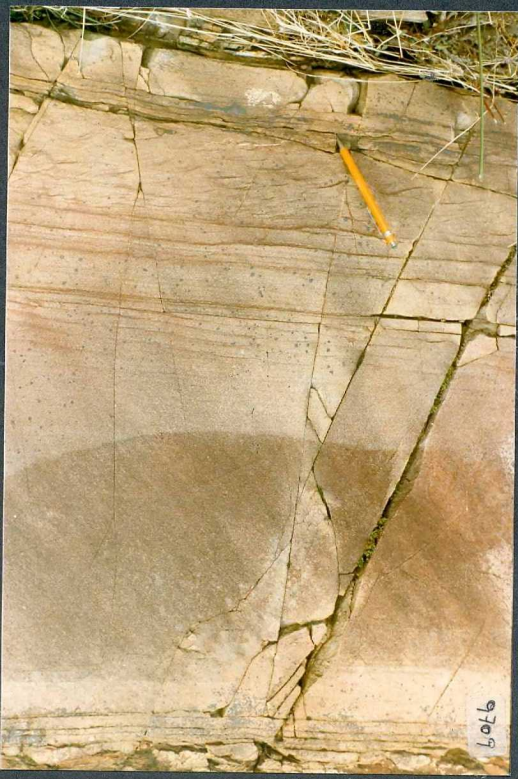


9707



9708





9709

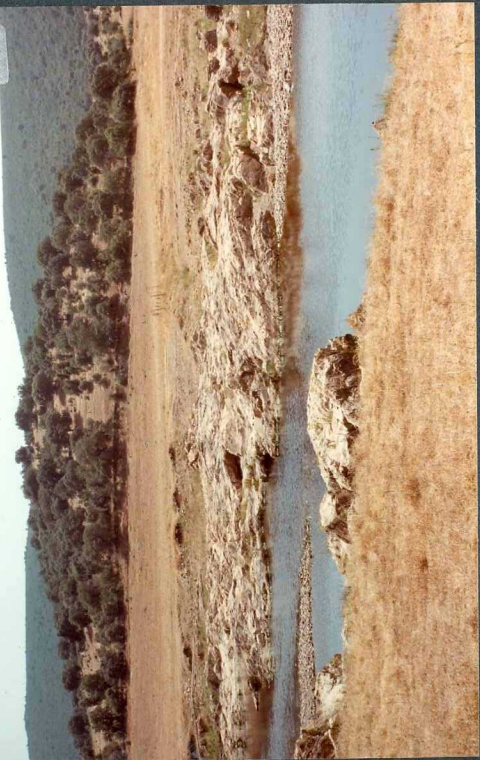
9710





9711

9712





9713

9714



9715

S A

9716



9717



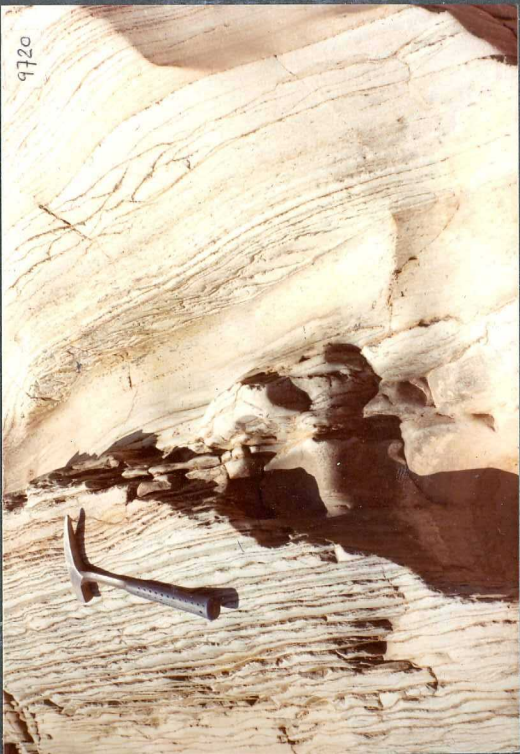
9718





9719

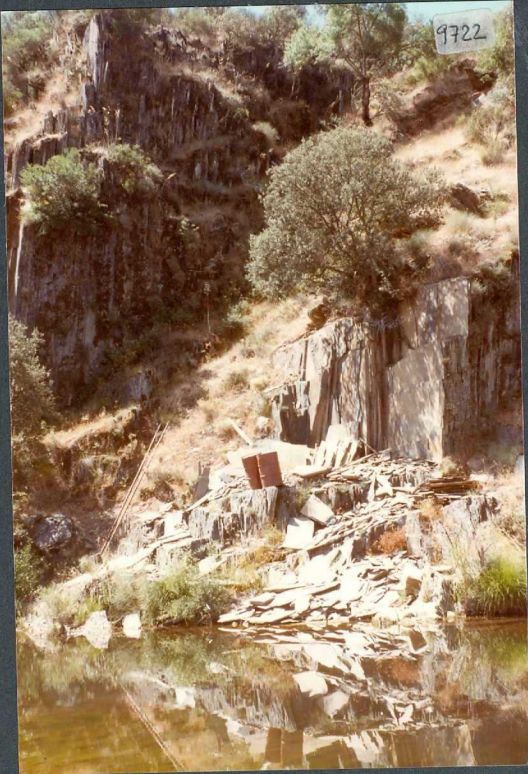
9720



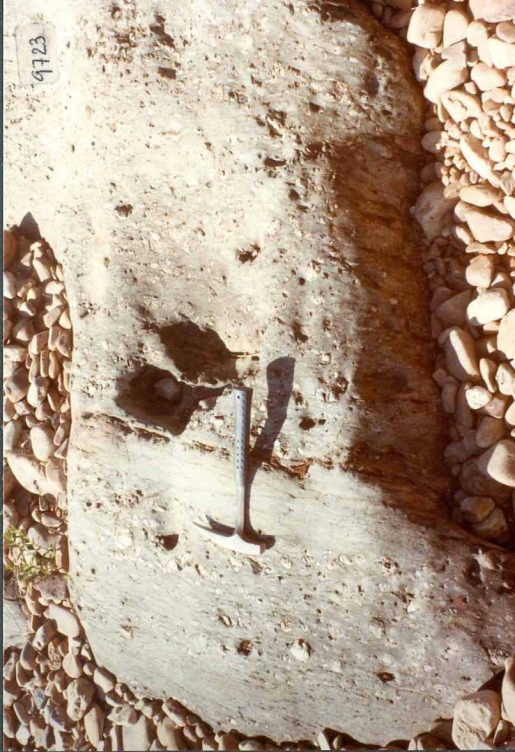
9721



9722



9723



9724



9725



9726

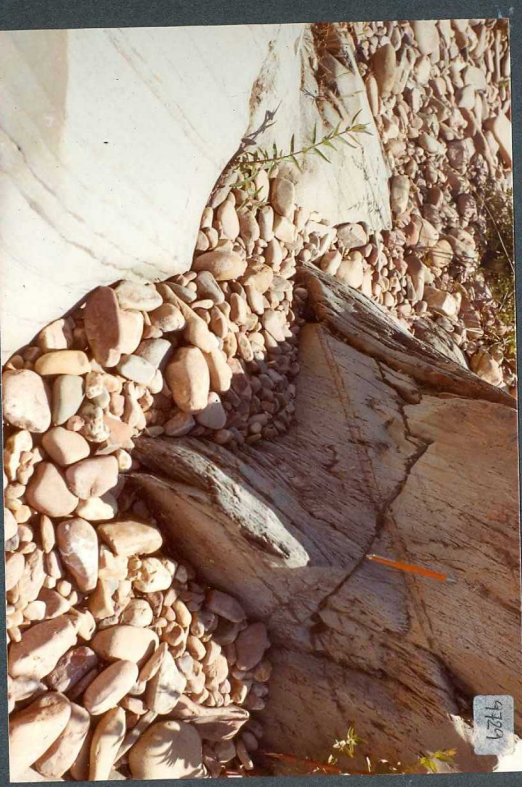


9727



9728





9729

9730



9731



9732



9733



9734



586b





95tl

9737



9738



9739



9741



9742

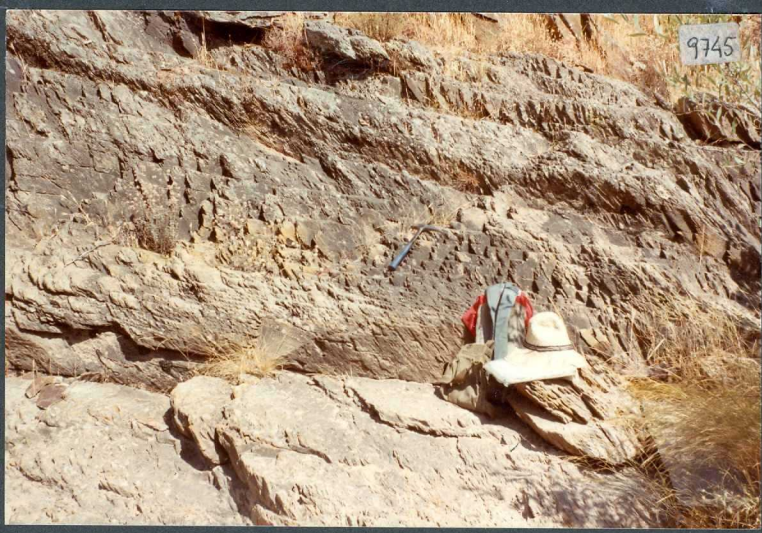
9743.





9744

9745





6746

9747



9748



9749



9750



9754





9752

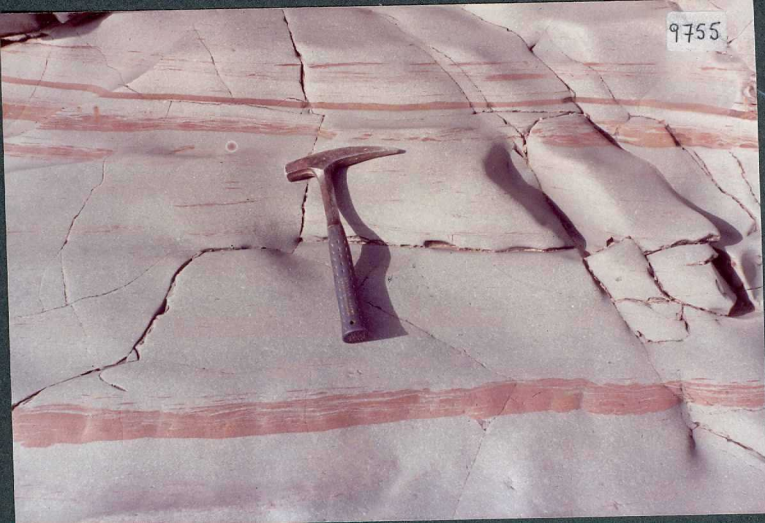


9753

9754



9755



9756



9757





9758

9759



9760



9761





9762

9763





9364

9765



9766



9767



9768



9769



9770





1176

9772



9712



9774



9775



9776

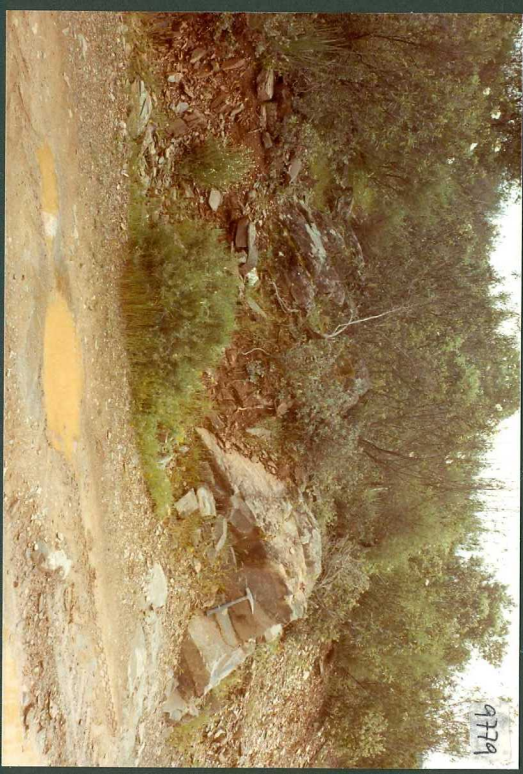


9777



9778





5779

9780

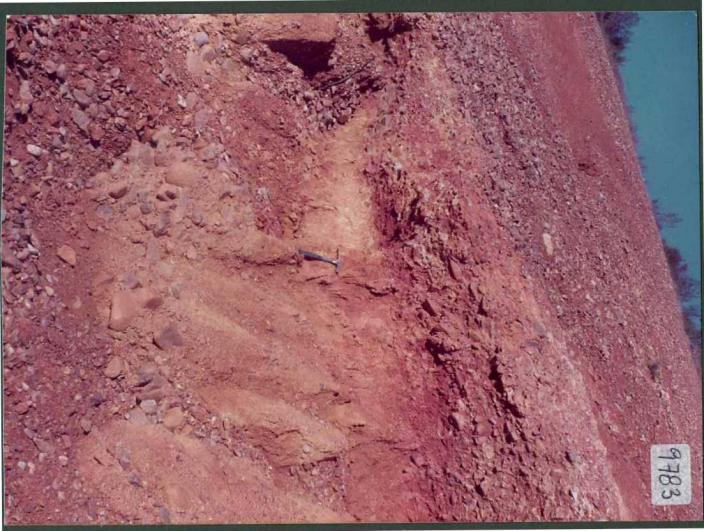


9781  
b



9782





9783

9784



9785





978



9788



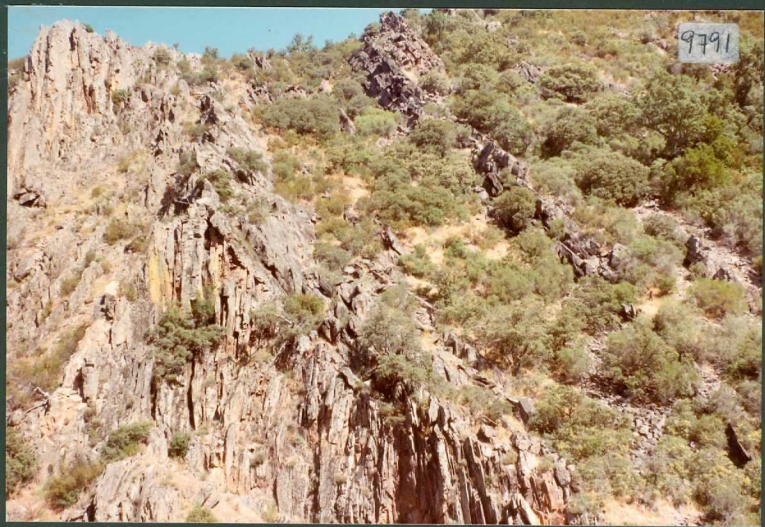


68E6

97.90



9791



9792



9793



9794



9795



9796





166

9798



9799



9800





1086

9802





9803

9804



9805



9806



9807





9808

9809



9810



9811

